

## (Zr<sub>0.8</sub>Sn<sub>0.2</sub>)TiO<sub>4</sub> 세라믹스의 마이크로파 유전특성에 미치는 (B<sub>2</sub>O<sub>3</sub> · Li<sub>2</sub>O)의 영향

안일석 · 윤기현 · 김응수\*

연세대학교 세라믹공학과  
\* 경기대학교 재료공학과

### Effect of (B<sub>2</sub>O<sub>3</sub> · Li<sub>2</sub>O) on the Microwave Dielectric Properties of the (Zr<sub>0.8</sub>Sn<sub>0.2</sub>)TiO<sub>4</sub> Ceramics

Yil Seok Ahn, Ki Hyun Yoon and Eung Soo Kim\*

Department of Ceramic Engineering, Yonsei University, Seoul 120-749

\*Department of Materials Engineering, Kyonggi University, Suwon 442-760

(1999년 7월 23일 받음, 1999년 8월 31일 최종수정본 받음)

**초록** (Zr<sub>0.8</sub>Sn<sub>0.2</sub>)TiO<sub>4</sub> 세라믹스의 소결조제로서 (B<sub>2</sub>O<sub>3</sub> · Li<sub>2</sub>O)의 첨가에 따른 마이크로파 유전특성 및 미세구조에 미치는 영향에 대하여 연구하였다. 1.0 mol.% Sb<sub>2</sub>O<sub>3</sub>를 첨가하고 1300°C에서 5시간 소결한 (Zr<sub>0.8</sub>Sn<sub>0.2</sub>)TiO<sub>4</sub> 세라믹스의 경우 (B<sub>2</sub>O<sub>3</sub> · Li<sub>2</sub>O) 첨가량 증가에 따라 치밀화 및 결정립 성장에 의해 유전상수와 Q · f값은 증가하여 첨가량이 0.35 wt.%에서 최대값인 38과 59,000을 각각 나타내었으며, 0.50 wt.% 이상 첨가한 경우에는 제 2상의 생성으로 인하여 감소하였다. 1.0 mol.% Sb<sub>2</sub>O<sub>3</sub>와 0.35 wt.% (B<sub>2</sub>O<sub>3</sub> · Li<sub>2</sub>O)를 첨가한 (Zr<sub>0.8</sub>Sn<sub>0.2</sub>)TiO<sub>4</sub> 세라믹스를 1250°C와 1350°C에서 5시간 소결한 경우에는 각각 미반응 TiO<sub>2</sub>의 존재와 과대입자성장에 의한 결정립내기공의 생성으로 인하여 마이크로파 유전특성은 저하되었다.

**Abstract** Effect of (B<sub>2</sub>O<sub>3</sub> · Li<sub>2</sub>O) as a sintering aid on the microwave dielectric properties and the microstructure of the (Zr<sub>0.8</sub>Sn<sub>0.2</sub>)TiO<sub>4</sub> ceramics were investigated. When the (Zr<sub>0.8</sub>Sn<sub>0.2</sub>)TiO<sub>4</sub> ceramics doped with 1.0 mol.% Sb<sub>2</sub>O<sub>3</sub> were sintered at 1300°C for 5 h, the dielectric constant and the Q · f values were enhanced with an increase of the amount of (B<sub>2</sub>O<sub>3</sub> · Li<sub>2</sub>O) up to 0.35 wt.% due to the densification and the grain growth, and reached the maximum values of 38 and 59,000, respectively. However, those properties were decreased above 0.50 wt.% due to the formation of the secondary phase. When the (Zr<sub>0.8</sub>Sn<sub>0.2</sub>)TiO<sub>4</sub> ceramics with 1.0 mol.% Sb<sub>2</sub>O<sub>3</sub> and 0.35 wt.% (B<sub>2</sub>O<sub>3</sub> · Li<sub>2</sub>O) were sintered at 1250°C and 1350°C for 5 h, the microwave dielectric properties were deteriorated by the presence of the unreacted TiO<sub>2</sub> phase and by the formation of the intragranular pores resulting from the abnormal grain growth, respectively.

### 1. 서 론

위성통신과 이동통신의 주파수 대역이 점차 높아지고 있고 회로의 고집적화와 고성능화로 인하여 마이크로파 영역에서 낮은 유전손실을 갖는 재료가 요구되고 있으며 (Zr<sub>0.8</sub>Sn<sub>0.2</sub>)TiO<sub>4</sub> 세라믹스는 이러한 요구를 충족시키는 물질로 기대되고 있다. (Zr<sub>0.8</sub>Sn<sub>0.2</sub>)TiO<sub>4</sub> 세라믹스는 ZrTiO<sub>4</sub>에 Sn<sup>4+</sup> 이온이 고용된 구조로서, 구조적으로 ZrTiO<sub>4</sub>의 고온상 구조를 갖는다.<sup>1)</sup> ZrTiO<sub>4</sub>의 고온상의 결정구조는 α-PbO<sub>2</sub> 구조와 유사한 사방정(orthorhombic, space group Pbca) 구조이고,<sup>2)</sup> 산소팔면체 사이에 금속 양이온들이 불규칙(random)하게 분포되어 있다. Wolfram 등<sup>1)</sup>은 ZrO<sub>2</sub>-TiO<sub>2</sub>의 2성분계 시스템<sup>3)</sup>을 기본으로 하여 ZrO<sub>2</sub>, SnO<sub>2</sub>, TiO<sub>2</sub>의 몰비 변화에 따라 Zr<sub>x</sub>Ti<sub>y</sub>Sn<sub>z</sub>O<sub>4</sub>(x+y+z=2)계 유전체 재료의 마이크로파 유전특성을 보고하였는데, x=0.8, y=1, z=0.2인 (Zr<sub>0.8</sub>Sn<sub>0.2</sub>)TiO<sub>4</sub>가 고용체중 높은 유전상수를 갖고, 매우 낮은 유전손실값을 가지며, 가장 안정된 공진주파수의 온도계수를 나타낸다고 보고하였다. (Zr<sub>0.8</sub>Sn<sub>0.2</sub>)TiO<sub>4</sub>

세라믹스는 유전상수가 37이상, Q · f가 40,000이상, 그리고 공진주파수의 온도계수가 ±3ppm/°C 이하로서 우수한 특성을 가지고 있는 반면, 산화물혼합법으로 합성할 경우 적절한 소결조제(sintering aid)를 사용해야 치밀화시킬 수 있다는 문제점을 가지고 있다.

이와 같은 (Zr<sub>0.8</sub>Sn<sub>0.2</sub>)TiO<sub>4</sub> 세라믹스의 첨가제에 대한 연구는 크게 두가지 방향으로 진행되었는데, 그 중 하나는 (Zr<sub>0.8</sub>Sn<sub>0.2</sub>)TiO<sub>4</sub> 세라믹스의 소결성을 향상시키기 위하여 소결조제 ZnO, La<sub>2</sub>O<sub>3</sub>, Nb<sub>2</sub>O<sub>5</sub>, NiO 또는 MnO<sub>2</sub> 등의 첨가<sup>4~6)</sup> 가 소결온도의 저하에 미치는 영향에 대한 연구로서, 소결조제는 (Zr<sub>0.8</sub>Sn<sub>0.2</sub>)TiO<sub>4</sub> 세라믹스의 밀도, 미세구조, 및 결함구조에 영향을 미쳐 결과적으로는 마이크로파 유전특성을 변화시키게 되므로, 마이크로파 유전체의 가장 중요한 특성인 Q · f값을 증진시키기 위해서는 적절한 소결조제의 선택, 적정량의 소결조제, 그리고 최적의 공정조건의 확립이 중요하다.<sup>7,8)</sup>

또한 다른 하나는 (Zr<sub>0.8</sub>Sn<sub>0.2</sub>)TiO<sub>4</sub> 세라믹스의 마이크로파 유전특성 특히 Q · f값을 향상시키기 위한 연구로서 도

너(donor)나 억셉터(acceptor) 등의 첨가제<sup>4, 6, 9)</sup>에 대한 연구가 진행되어 왔다. Iddles<sup>4)</sup> 등은 Nb<sup>5+</sup> 등과 같은 도너이온(donor ions)은 산소공공의 수를 감소시켜 유전손실을 감소시키는 효과가 있는 반면, La<sup>3+</sup>와 같은 억셉터이온(acceptor ions)은 전자의 수를 증가시켜 유전손실을 증가시킨다고 보고하였다. Yoon<sup>10, 11)</sup> 등은 ZnO를 소결조제로 하여 Nb<sup>5+</sup>, Sb<sup>5+</sup>, Ta<sup>5+</sup> 등과 같은 5가 양이온을 첨가하여 도너이온에 의한 유전손실의 감소효과에 대하여 보고한 바 있다.

(Zr<sub>0.8</sub>Sn<sub>0.2</sub>)TiO<sub>4</sub> 세라믹스는 고유의 마이크로파 유전특성을 유지하면서 소결온도를 낮추기 위한 연구가 여러 연구자들에 의하여 행하여져 왔다. Kudesia 등<sup>12)</sup>은 공침법을 사용하여 (Zr<sub>0.8</sub>Sn<sub>0.2</sub>)TiO<sub>4</sub> 분말을 합성하고 La<sub>2</sub>O<sub>3</sub>와 ZnO를 소결조제로 첨가하여 1325°C 16시간 소결함으로서 양호한 물성을 나타낸 반면 Takada 등<sup>13)</sup>은 산화물혼합법으로 제조한 (Zr<sub>0.8</sub>Sn<sub>0.2</sub>)TiO<sub>4</sub> 분말에 ZnO와 B<sub>2</sub>O<sub>3</sub>가 주성분인 glass frit을 첨가하여 소결온도를 1100°C 까지 낮출 수 있었지만 마이크로파 유전특성은 저하되었다.

(Zr<sub>0.8</sub>Sn<sub>0.2</sub>)TiO<sub>4</sub> 세라믹스를 산화물혼합법으로 합성할 경우 지금까지의 보고에서 나타난 바와 같이 소결조제로 ZnO를 사용할 경우 1400°C 미만에서는 소결치밀화가 어렵기 때문에 본 연구에서는 1400°C 미만에서 소결치밀화가 가능한 소결조제로서, B<sub>2</sub>O<sub>3</sub>-Li<sub>2</sub>O계<sup>14)</sup>에서 B<sub>2</sub>O<sub>3</sub>와 Li<sub>2</sub>O의 몰비가 1:1이며 합치용융점(congruent melting point)이 849±2°C로서 가장 낮은 (B<sub>2</sub>O<sub>3</sub>·Li<sub>2</sub>O)를 (Zr<sub>0.8</sub>Sn<sub>0.2</sub>)TiO<sub>4</sub> 세라믹스에 첨가하고, 첨가량 및 소결온도의 변화가 마이크로파 유전특성 및 미세구조에 미치는 영향에 대하여 고찰하였다.

## 2. 실험 방법

본 실험에서는 출발물질로서 고순도(99.0% 이상)의 ZrO<sub>2</sub>, TiO<sub>2</sub>, SnO<sub>2</sub> 및 Sb<sub>2</sub>O<sub>5</sub>를 사용하였으며, 시편의 제조는 일반적인 산화물 혼합법으로 행하였다. 분말을 (Zr<sub>0.8</sub>Sn<sub>0.2</sub>)TiO<sub>4</sub>의 조성비로 칭량하였으며, 본 연구실에서 이미 보고한 바와 같이<sup>10, 11)</sup> (Zr<sub>0.8</sub>Sn<sub>0.2</sub>)TiO<sub>4</sub> 세라믹스의 마이크로파 유전특성을 향상시키기 위하여 5가 첨가제로 Sb<sub>2</sub>O<sub>5</sub>를 1.0 mol.% 첨가하였다. 칭량한 각 조성의 분말은 에틸알코올을 용매로 하여 지름이 10mm인 지르코니아 구석을 사용하여 24시간동안 습식 혼합한 후 건조하였다. 건조한 분말을 전기로를 이용하여 알루미나 도가니에서 200°C/h의 승온속도로 공기중에서 1150°C에서 5시간 동안 하소하였다.

소결조제로서 (B<sub>2</sub>O<sub>3</sub>·Li<sub>2</sub>O)화합물을 사용하였는데 고순도(99.0% 이상)의 B<sub>2</sub>O<sub>3</sub>와 Li<sub>2</sub>CO<sub>3</sub>의 몰비를 1:1로 칭량한 후 에틸알코올을 용매로 하여 지름이 10mm인 지르코니아 구석을 사용하여 24시간 동안 습식 혼합, 건조한 다음 (B<sub>2</sub>O<sub>3</sub>·Li<sub>2</sub>O)화합물이 용융되지 않는 온도인 570°C에서 1시간 하소하여 합성하였다. 하소한 분말에 소결조제로서 (B<sub>2</sub>O<sub>3</sub>·Li<sub>2</sub>O)화합물을 0.15~1.0 wt.% 범위내에서 변화시키며 첨가한 후 다시 24시간 동안 습식 분쇄한 후 건조하였다. 건조시킨 분말은 80mesh체로 체가름한 후 지름이

12mm인 몰드를 사용하여 700kg/cm<sup>2</sup>으로 1차 성형한 후 1450kg/cm<sup>2</sup>로 등압성형하여, 200°C/h의 승온속도로 1250, 1300, 및 1350°C에서 5시간 동안 소결하였다.

소결 후 존재상 변화를 관찰하기 위하여 X-선 회절분석(Rigaku Co., Japan)을 행하였다. 소결 시편을 SiC 연마지(#800, 1000, 1200)로 순차적으로 연마한 다음 0.05 μm의 γ-Al<sub>2</sub>O<sub>3</sub> 분말로 최종 연마하고 초음파 세척기로 세척한 후 열에칭(thermal etching)하였다. 소결 시편의 결정립 크기와 2차상의 생성 여부 등을 관찰하기 위해서 연마면에 대하여 SEM(Jeol, JSM 820, Japan)을 이용하여 미세구조를 관찰하였다. Hakki와 Coleman<sup>15)</sup>에 의해 제시되고 Kobayashi와 Tanaka<sup>16)</sup>가 보정한 post resonant method를 사용하여 7GHz, 25~85°C의 온도범위에서 마이크로파 유전 특성을 측정하였다.

## 3. 결과 및 고찰

그림 1은 Sb<sub>2</sub>O<sub>5</sub>의 첨가량을 1.0 mol.%로 고정하고 (B<sub>2</sub>O<sub>3</sub>·Li<sub>2</sub>O)의 첨가량을 변화시키면서 1300°C에서 5시간 소결한 (Zr<sub>0.8</sub>Sn<sub>0.2</sub>)TiO<sub>4</sub> 세라믹스의 X-선 회절분석 결과이다. Sb<sub>2</sub>O<sub>5</sub>의 첨가량을 1.0 mol.%로 고정한 이유는 본 연구실에서 이미 보고한 바와 같이<sup>10, 11)</sup> (Zr<sub>0.8</sub>Sn<sub>0.2</sub>)TiO<sub>4</sub> 세라믹스에 5가 첨가제로 Sb<sub>2</sub>O<sub>5</sub>를 첨가하였을 때 1.0 mol.%에서 마이크로파 유전특성이 가장 우수하였기 때문이다. (B<sub>2</sub>O<sub>3</sub>·Li<sub>2</sub>O)의 첨가량이 0.35 wt.%일 때까지는 순수한 (Zr<sub>0.8</sub>Sn<sub>0.2</sub>)TiO<sub>4</sub> 조성의 피크가 관찰되었으나 0.5 wt.% 이상에서는 TiO<sub>2</sub> 피크가 제2상으로 검출되었다.

1300°C에서 5시간 소결한 (Zr<sub>0.8</sub>Sn<sub>0.2</sub>)TiO<sub>4</sub> 세라믹스의 (B<sub>2</sub>O<sub>3</sub>·Li<sub>2</sub>O)의 첨가량 변화에 따른 미세구조 변화를 그림 2에 나타내었다. 사진에서 확인할 수 있듯이 (B<sub>2</sub>O<sub>3</sub>·Li<sub>2</sub>O)

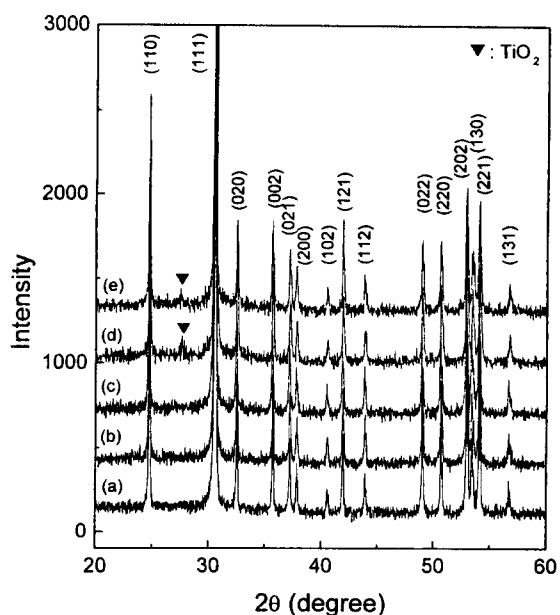


Fig. 1. XRD patterns of (Zr<sub>0.8</sub>Sn<sub>0.2</sub>)TiO<sub>4</sub> specimens, doped with 1.0 mol.% Sb<sub>2</sub>O<sub>5</sub> and sintered at 1300°C for 5 h, as a function of the amount of (B<sub>2</sub>O<sub>3</sub>·Li<sub>2</sub>O) of; a) 0.15, b) 0.25, c) 0.35, d) 0.50, e) 1.00 wt.%.

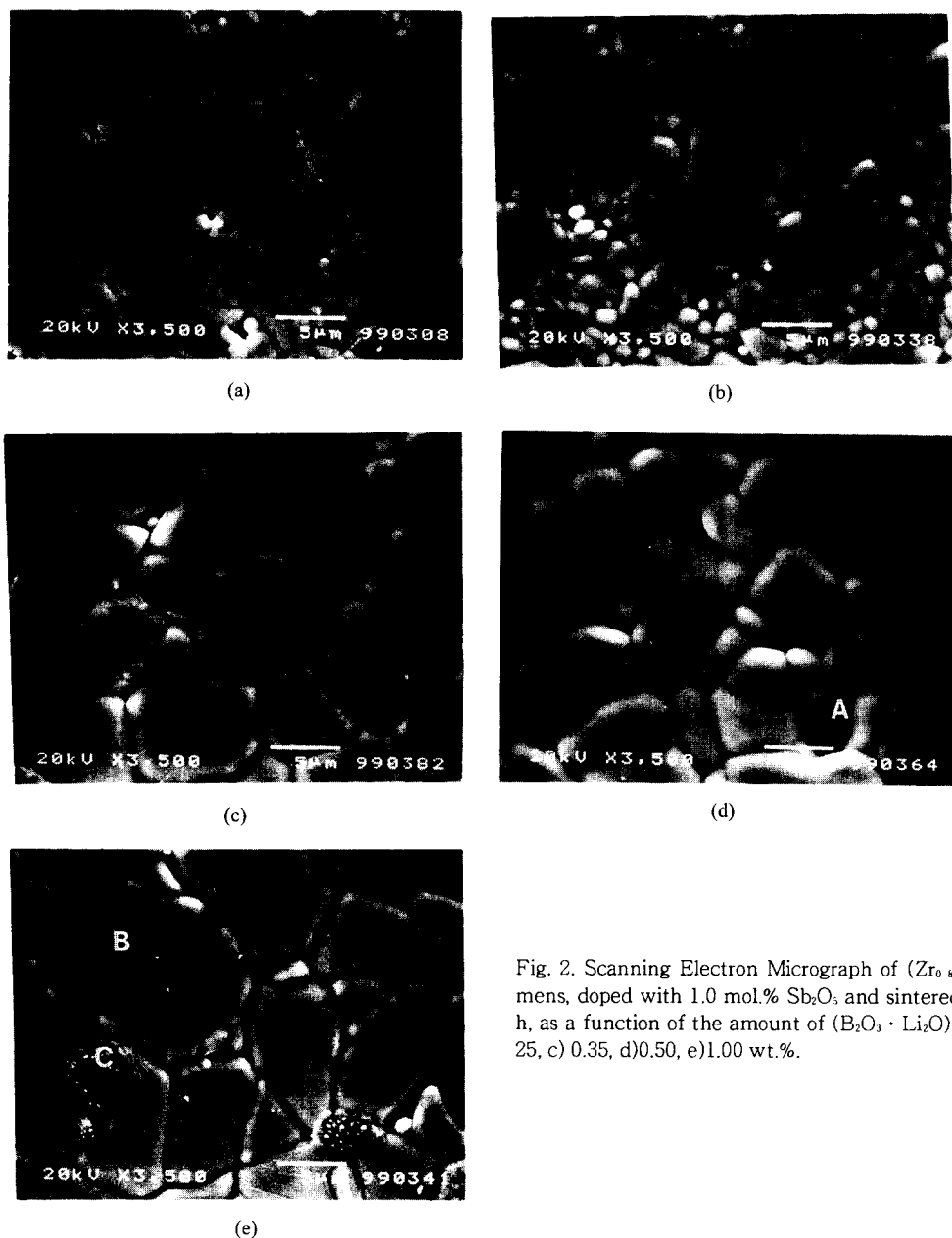


Fig. 2. Scanning Electron Micrograph of  $(\text{Zr}_{0.8}\text{Sn}_{0.2})\text{TiO}_4$  specimens, doped with 1.0 mol.%  $\text{Sb}_2\text{O}_3$  and sintered at  $1300^\circ\text{C}$  for 5 h, as a function of the amount of  $(\text{B}_2\text{O}_3 \cdot \text{Li}_2\text{O})$  of; a) 0.15, b) 0.25, c) 0.35, d) 0.50, e) 1.00 wt.%.

의 첨가량이 0.35 wt.% 일 때까지 결정립 크기가 증가하다가 0.5 wt.% 이상에서는 결정립크기의 증가가 거의 없고 검은 색의 제 2상(그림 2(d)-A, (e)-C)이 관찰되었다.  $(\text{B}_2\text{O}_3 \cdot \text{Li}_2\text{O})$  첨가량이 0.35 wt.%까지는 소결조제로서 액상소결을 촉진시켜 결정립 크기를 증가시키지만 그 이상의 첨가에서는 입계에서 과량의 액상을 형성하여 제 2상을 생성시키는 것으로 나타났다. 이와 같은 제 2상의 생성을 확인하기 위하여 그림 2(e)의 미세구조에 나타난 결정립과 검은 색의 제 2상의 성분을 보기 위하여 EDS 분석을 행한 결과는 그림 3과 같다. 정량분석 결과로부터 결정립(그림 2(e)-B)에서는  $(\text{Zr}_{0.8}\text{Sn}_{0.2})\text{TiO}_4$ 의 조성으로 분석된 반면, 제 2상(그림 2(e)-C)에서는 Ti가 존재함을 알 수 있었다. 이와 같은 결과는  $(\text{Zr}_{0.8}\text{Sn}_{0.2})\text{TiO}_4$  세라믹스에 첨가제의 과량 첨가에 따라 Ti가 함유된 제 2상이 생성되었다는 이전에 발표한 연구결과<sup>6, 12, 17)</sup>와도 일치하고 있으며 이렇게 Ti가 함유된 제 2상의 존재는 그림 1의 X-선 회절분석결과와 일치하

고 있음을 알 수 있다.

그림 4는  $(\text{B}_2\text{O}_3 \cdot \text{Li}_2\text{O})$ 의 첨가량 변화에 따른  $1300^\circ\text{C}$ 에서 5시간 소결한  $(\text{Zr}_{0.8}\text{Sn}_{0.2})\text{TiO}_4$  세라믹스의 상대밀도, 유전상수, Q · f값의 변화를 나타내고 있다. 상대밀도 변화를 보면  $(\text{B}_2\text{O}_3 \cdot \text{Li}_2\text{O})$ 의 첨가량 증가에 따라 밀도는 증가하여 0.35 wt.%에서 최대값을 나타낸 후 감소하는 경향을 나타내었다. 이것은 그림 2의 미세구조로부터  $(\text{B}_2\text{O}_3 \cdot \text{Li}_2\text{O})$ 의 첨가량 증가에 따라 결정립이 성장하면서 치밀화 되는 과정을 거치게 되나 0.50 wt.% 이상에서는 결정립성장이 둔화되고 Ti가 함유된 제 2상이 생성되는 데  $(\text{Zr}_{0.8}\text{Sn}_{0.2})\text{TiO}_4$ 의 밀도( $5.23\text{g}/\text{cm}^3$ )보다는  $\text{TiO}_2$ 의 밀도( $4.17\text{g}/\text{cm}^3$ )가 낮으므로<sup>18)</sup> 제 2상 생성에 의한 밀도 저하를 설명할 수 있다. 유전상수는 상대밀도와 유사한 경향을 나타내었는데 이는 Kudesia 등<sup>12)</sup>과 Osbond 등<sup>19)</sup>의 보고와 같이 유전상수가 상대밀도의 영향을 많이 받기 때문인 것으로 설명할 수 있다. 또한 Q · f값은  $(\text{B}_2\text{O}_3 \cdot \text{Li}_2\text{O})$  첨가량이 0.35 wt.%까

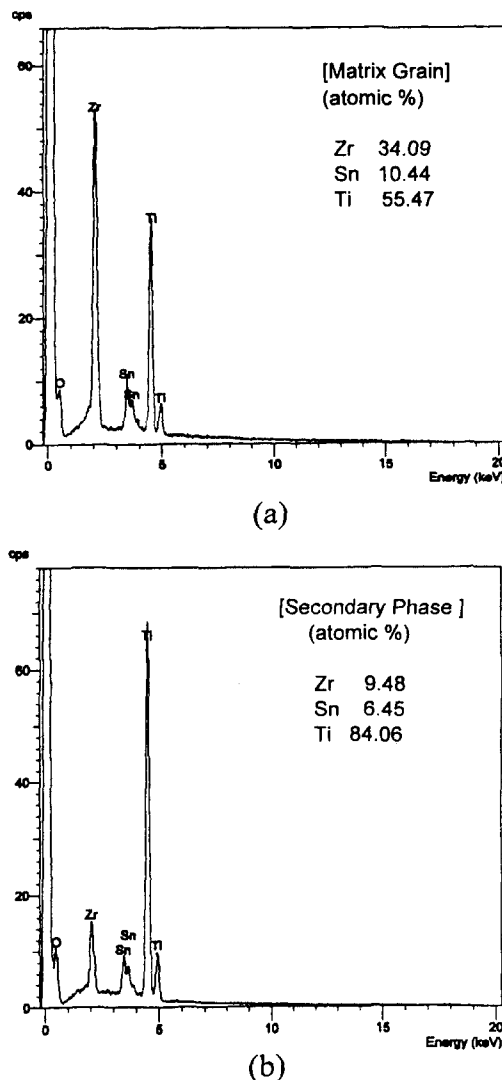


Fig. 3. EDS Spectra of the (a) matrix grain and (b) the secondary phase of the sintered  $(\text{Zr}_{0.8}\text{Sn}_{0.2})\text{TiO}_4$  specimens with 1.0 mol.%  $\text{Sb}_2\text{O}_5$  and 1.0 wt.%  $(\text{B}_2\text{O}_3 \cdot \text{Li}_2\text{O})$ .

지는 증가하여 최대치에 도달 후 0.50 wt.% 이상 첨가할 경우에는 감소함을 할 수 있었다. 여기에서는  $(\text{B}_2\text{O}_3 \cdot \text{Li}_2\text{O})$ 의 첨가량이 0.35 wt.%까지 증가됨에 따라서는 그림 2의 미세구조에서 확인할 수 있듯이 결정립 크기는 증가하여 유전손실이 큰 입계면적이 감소하므로  $Q \cdot f$ 값이 증가하는 것을 설명할 수 있고, 0.50 wt.% 이상 첨가할 경우에는 결정립 성장이 둔화되고 Ti가 함유된 제 2상의 생성량이 증가되어  $Q \cdot f$ 값은 감소되었다. 이와 같은 결과는 Wakino 등<sup>7)</sup>과 Kudlesia<sup>12)</sup> 등이 입계에 존재하는 유전손실이 큰 제 2상으로 인해  $Q \cdot f$ 값이 저하될 수 있다고 보고한 연구결과와도 일치한다. 이 결과를 1.0 wt.%  $\text{ZnO}$ 를 첨가한 이전의 연구 보고<sup>4,10,11)</sup>와 비교해 볼 때  $(\text{B}_2\text{O}_3 \cdot \text{Li}_2\text{O})$ 는  $\text{ZnO}$ 보다 적은 양으로 저온에서의 소결을 가능케 하는 소결조제임을 확인할 수 있었다.

그림 5는  $\text{Sb}_2\text{O}_5$ 를 1.0 mol.% 첨가하여 1150°C에서 5시간 하소한 시편과,  $(\text{B}_2\text{O}_3 \cdot \text{Li}_2\text{O})$ 을 0.35 wt.% 첨가한 후 1250, 1300, 및 1350°C에서 5시간 소결한  $(\text{Zr}_{0.8}\text{Sn}_{0.2})\text{TiO}_4$  세라믹스의 X-선 회절 분석결과이다. 본 연구에서는 이전

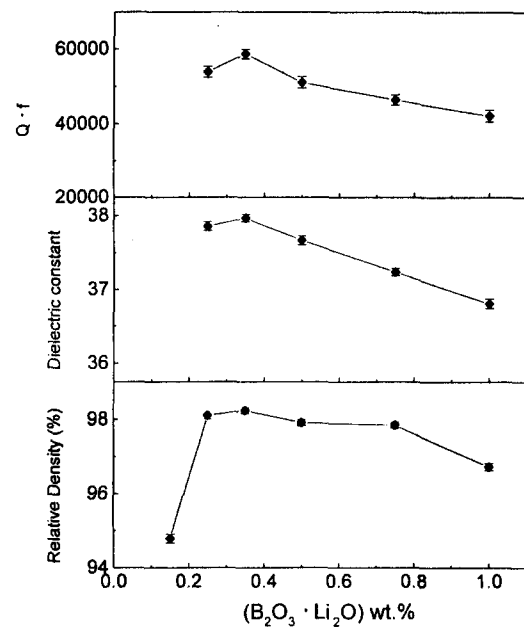


Fig. 4. Relative density, dielectric constant, and  $Q \cdot f$  of  $(\text{Zr}_{0.8}\text{Sn}_{0.2})\text{TiO}_4$  specimens, doped with 1.0 mol.%  $\text{Sb}_2\text{O}_5$  and sintered at 1300°C for 5 h, as a function of the amount of  $(\text{B}_2\text{O}_3 \cdot \text{Li}_2\text{O})$ .

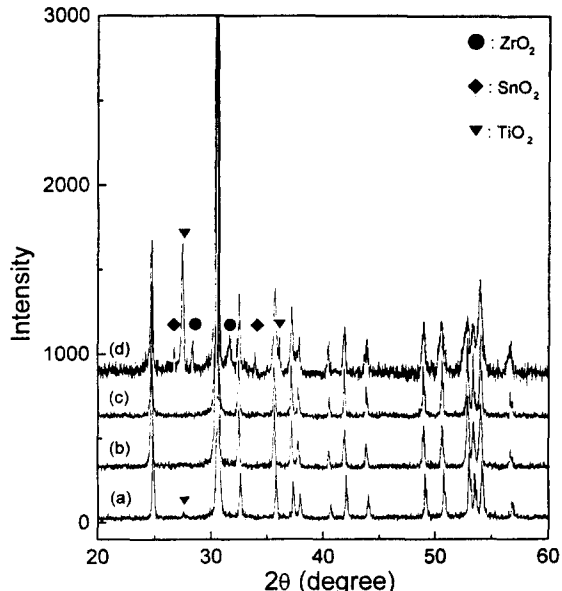


Fig. 5. XRD patterns of sintered  $(\text{Zr}_{0.8}\text{Sn}_{0.2})\text{TiO}_4$  specimens with 1.0 mol.%  $\text{Sb}_2\text{O}_5$  and 0.35 wt.%  $(\text{B}_2\text{O}_3 \cdot \text{Li}_2\text{O})$  sintered at (a) 1250, (b) 1300, and (c) 1350°C for 5 h, and (d) calcined powder doped with 1.0 mol.%  $\text{Sb}_2\text{O}_5$ , calcined at 1150°C for 5 h.

의 연구에서와는 달리 하소하기 전에 소결조제인  $\text{ZnO}$ 를 첨가하지 않았고 하소 후 소결조제인  $(\text{B}_2\text{O}_3 \cdot \text{Li}_2\text{O})$ 를 첨가했기 때문에 하소한 시편의 X-선 회절분석결과를 보면  $\text{ZrO}_2$ ,  $\text{SnO}_2$ , 및  $\text{TiO}_2$ 등의 미반응 산화물이 잔류하고 있는 것을 알 수 있다. 이러한 미반응 산화물들은 소결조제인  $(\text{B}_2\text{O}_3 \cdot \text{Li}_2\text{O})$ 를 첨가하고 1300°C 이상에서 소결하면 완전히 소멸하여  $(\text{Zr}_{0.8}\text{Sn}_{0.2})\text{TiO}_4$  단일상을 나타낼 수 있다. Han 등<sup>20)</sup>은 하소 후에 미반응 산화물이 남아있는  $(\text{Zr}_{0.8}\text{Sn}_{0.2})$

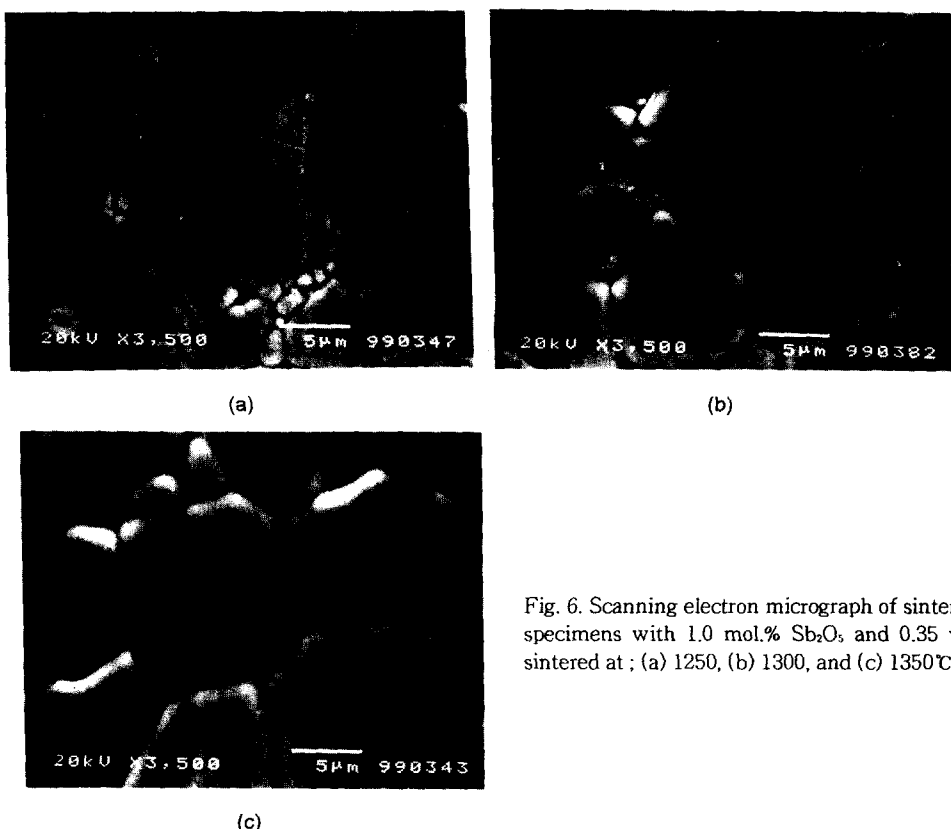


Fig. 6. Scanning electron micrograph of sintered  $(Zr_{0.8}Sn_{0.2})TiO_4$  specimens with 1.0 mol.%  $Sb_2O_5$  and 0.35 wt.%  $(B_2O_3 \cdot Li_2O)$  sintered at ; (a) 1250, (b) 1300, and (c) 1350°C for 5 h.

$TiO_4$ 는 단일상으로 합성된 경우에 비하여 입자크기가 더 작다고 보고하였고, Heiao 등<sup>9</sup>은 하소온도가 높을 경우  $(Zr_{0.8}Sn_{0.2})TiO_4$  단일상으로의 합성은 이루어지나 입자크기가 증가하여 결국 기공율이 증가한다고 보고한 바 있다. 소결온도의 변화에 따른 경향을 보면 1250°C에서 소결한 시편의 경우  $TiO_2$ 가 제 2상으로 나타났으며 1300°C 이상에서는  $(Zr_{0.8}Sn_{0.2})TiO_4$ 의 단일상이 관찰되었다.

그림 6은  $Sb_2O_5$ 를 1.0 mol.% 첨가하고,  $(B_2O_3 \cdot Li_2O)$ 를 0.35 wt.% 첨가한 경우 1250, 1300, 및 1350°C에서 각각 5시간 소결한  $(Zr_{0.8}Sn_{0.2})TiO_4$  세라믹스의 미세구조 사진이다. 소결온도 1250°C에서는 결정립크기가 작고 검은 색의 제 2상이 발견되었으며 이는 그림 5의 X-선 회절 분석 결과와 일치하고 있다. 1250°C에서 소결한 시편에 존재하는 제 2상은  $(Zr_{0.8}Sn_{0.2})TiO_4$  단일상으로의 소결이 완전히 이루어지지 않았기 때문이며, 1300°C에서 소결한 경우에는 제 2상인  $TiO_2$ 가 소멸되고 결정립 성장이 일어나 소결이 완전히 진행되었음을 알 수 있다. 반면 소결온도 1350°C에서는 입간기공 (intergranular pore)과 더불어 결정립내기공 (intragranular pore)이 관찰되었다. 특히 결정립내 기공은 소결온도가 1350°C인 경우에서만 관찰되었는데 이는 높은 소결온도로 인한 과대입자성장이 일어났기 때문이다.

그림 7은  $Sb_2O_5$ 를 1.0 mol.% 첨가하고,  $(B_2O_3 \cdot Li_2O)$ 를 0.35 wt.% 첨가한 경우 소결온도 변화에 따른  $(Zr_{0.8}Sn_{0.2})TiO_4$  세라믹스의 상대밀도, 유전상수, Q · f값의 변화를 나타낸 것이다. 상대밀도는 1300°C에서 최대값을 나타낸 후 감소하였는데 이것은 그림 6의 미세구조에서 확인할 수 있듯이 1300°C까지는 결정립성장에 의하여 밀도가 증가하지

만 1350°C에서는 과대입자성장에 의한 결정립내기공 (intragranular pore)으로 인하여 기공율이 증가하기 때문이다. 유전상수는 상대밀도의 영향을 많이 받음<sup>12,19</sup>으로 인하여 상대밀도와 유사한 경향을 나타내고 있음을 알 수 있다. Q · f값은 1250°C에서 1300°C까지는 증가하다 1350°C에서 감소하는 경향을 보이고 있는 데 1300°C까지 증가하는 이유는 결정립크기가 증가하고 미세구조가 균일해지기 때문인 것으로 보이며 1350°C에서 감소하는 이유는 결정립 크기는 증가하나 미세구조에서 확인할 수 있듯이 입간기공 (intergranular pore)과 더불어 과대입자성장에 의한 결정립내기공 (intragranular pore)이 생성되고 이러한 결함들로 인하여 Q · f값이 감소했다고 생각되어진다.

그림 8은  $Sb_2O_5$  첨가량이 1.0 mol.%인 경우, 소결조제 ( $B_2O_3 \cdot Li_2O$ )의 첨가량의 변화에 따른 1300°C 5시간 소결한  $(Zr_{0.8}Sn_{0.2})TiO_4$  세라믹스의 TCF (temperature coefficient of resonant frequency, 공진주파수의 온도계수) 변화이다. ( $B_2O_3 \cdot Li_2O$ ) 첨가량의 증가에 따라 TCF는 완만하게 양의 방향으로 변화하고 있음을 알 수 있다. 이것은 Kudlesia 등<sup>12</sup>이  $La_2O_3$ 와  $ZnO$ 를 소결조제로 사용하였을 때와 같은 경향을 나타내고 있다.

#### 4. 결 론

- 1) 1.0 mol.%  $Sb_2O_5$ 를 첨가한  $(Zr_{0.8}Sn_{0.2})TiO_4$  세라믹스에  $(B_2O_3 \cdot Li_2O)$ 를 소결조제로 사용하여 소결온도를 1300°C까지 낮출 수 있었고,  $(B_2O_3 \cdot Li_2O)$ 의 첨가량 증가에 따라서 치밀화 및 결정립 성장에 의해 유전상수와 Q · f값은 증가하여 0.35 wt.%에서 각각 최대값인 38과 59,000

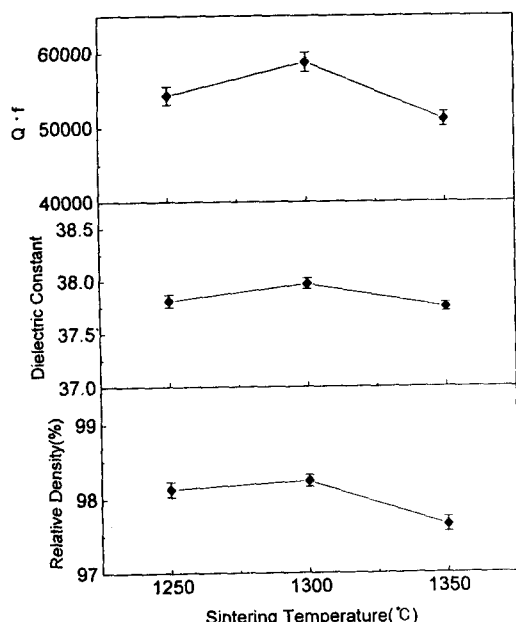


Fig. 7. Relative density, dielectric constant, and  $Q \cdot f$  of  $(Zr_{0.8}Sn_{0.2})TiO_4$  specimens with 1.0 mol.%  $Sb_2O_3$  and 0.35 wt.%  $(B_2O_3 \cdot Li_2O)$  as a function of sintering temperature.

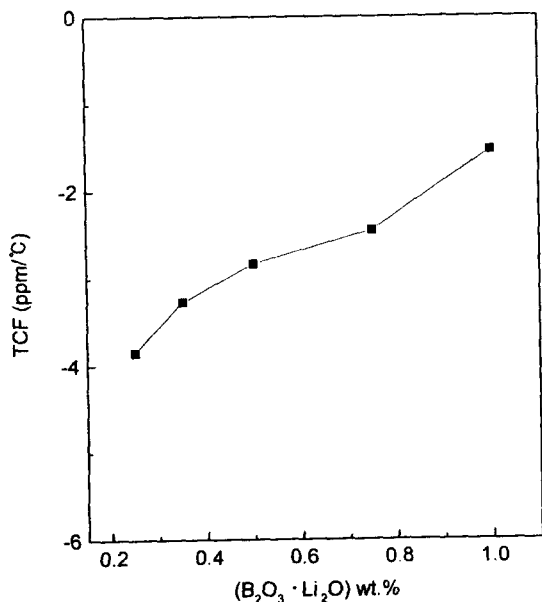


Fig. 8. Temperature coefficient of resonant frequency of  $(Zr_{0.8}Sn_{0.2})TiO_4$  specimens doped with 1.0 mol.%  $Sb_2O_3$  sintered at 1300°C for 5 h as a function of the amount of  $(B_2O_3 \cdot Li_2O)$ .

에 도달하였으며, 이보다 과량 첨가하는 경우에는 제 2상의 생성으로 인하여 감소하였다.

2) 1.0 mol.%  $Sb_2O_3$ 와 0.35 wt.%  $(B_2O_3 \cdot Li_2O)$ 를 첨가한  $(Zr_{0.8}Sn_{0.2})TiO_4$  세라믹스를 1250°C에서 소결하면  $TiO_2$ 가 제 2상으로 남아있었으나 1300°C에서는  $(Zr_{0.8}Sn_{0.2})TiO_4$  단일상으로의 소결과 함께 결정립 성장이 이루어졌으며, 1350°C에서는 과대입장성장에 의하여 결정립내기공

(intragranular pore)이 생성되어 상대밀도 및 마이크로파 유전특성은 저하되었다.

#### 참 고 문 헌

- G. Wolfram and H.E. Göbel, Mater. Res. Bull., **30** (7), 813-820 (1995).
- R.E. Newnham, J. Am. Ceram. Soc., **50** (4) 216 (1967).
- L.W. Coughnour, R.S. Roth, and V.A. DeProssse, J. Res. Natl. Bur. Standard, **52** (1) 37-42 (1954).
- D.M. Iddles, A.J. Bell, and A.J. Moulson, J. Mater. Sci., **27**, 6303-6310 (1992).
- N. Michiura, T. Tatekawa, Y. Higuchi, and H. Tamura, J. Am. Ceram. Soc., **78** (3), 793-796 (1995).
- Y. Fang, Z. Xu, A. Hu, and D.A. Payne, Ferroelectrics, **135**, 139-146 (1992).
- K. Wakino, K. Minai, and H. Tamura, J. Am. Ceram. Soc., **67** (4) 278-281 (1984).
- S. Kawashima, M. Nishida, I. Ueda, and H. Ouchi, J. Am. Ceram. Soc., **66** (6) 421-423 (1983).
- Y.C. Heiao, L. Wu, and C.C. Wei, Mat. Res. Bull., **23**, 1687-1692 (1988).
- K.H. Yoon and E.S. Kim, Mater. Res. Bull., **30** (7) 813-820 (1995).
- K.H. Yoon, Y.S. Kim, and E.S. Kim, J. Mater. Res., **10** (8) 2085-2090 (1995).
- R. Kudesia, A. McHale, and R.L. Snyder, J. Am. Ceram. Soc., **77** (12) 3215-3220 (1994).
- T. Takada, S.F. Wang, S. Yoshikawa, S.J. Jang, and R.E. Newnham, J. Am. Ceram. Soc., **77** (9) 2485-2488 (1994).
- B.S.R. Sastry and F.A. Hummel, J. Am. Ceram. Soc., **41** (1) 7-17 (1958).
- B.W. Hakki and P.D. Coleman, IRE Trans. Microwave Theory Tech., **8**, 402-410 (1960).
- Y. Kobayashi and S. Tanaka, Tech. Rept. CPM 72-33, Institute of Electron and Communication Engineers of Japan (1972).
- W.S. Kim, T.H. Kim, E.S. Kim, and K.H. Yoon, Jpn. J. Appl. Phys. **37** (1998) 5367-5371 Part 1. No.9B, September 1998.
- Physical Constants of Inorganic Compound, pp. B73-B140 in CRC Handbook of Chemistry and Physics, CRC Press Inc., Boca Raton, FL, 1987.
- P.C. Osbond, R.W. Whatmore, and F.W. Ainger, Proc. Br. Ceram. Soc., **36**, 167-178 (1985).
- K.R. Han, J.W. Jang, S.Y. Cho, D.Y. Jeong, and K. S. Hong, J. Am. Ceram. Soc., **81** (5) 1209-1214 (1998).